

Evaluation of Metallothionein Molecules Gene Expression Following Sciatic Nerve Injury

Fatemeh Aghanassir¹,
Hassan Aghaei²,
Abbas Ali Imani Fouladi³,
Mohammad Reza Nourani⁴

¹ MSc in Physiology, Faculty of Medicine, Baqiyatallah University of Medical Sciences, Tehran, Iran

² Assistant Professor, Department of Physiology, Faculty of Medicine, Tehran University of Medical Sciences, Tehran, Iran

³ Associate Professor, Applied Microbiology Research Center, Faculty of Medicine, Baqiyatallah University of Medical Sciences, Tehran, Iran

⁴ Associate Professor, Nano-Biotechnology Research Center, Baqiyatallah University of Medical Sciences, Tehran, Iran

(Received November 23, 2015 ; Accepted April 23, 2015)

Abstract

Background and purpose: Injury to peripheral nerve causes widespread cellular and molecular changes in injured neurons, however, the mechanisms involved remain unknown. One of these changes is increased production of free radicals that causes oxidative stress. Antioxidants participate in nerve repair through the scavenging effect of oxygen free radicals. In this research we studied gene expression of metallothionein 1 and 2 molecules after sciatic nerve crush in rats.

Materials and methods: The sciatic nerve of 40 adult Wistar rats was crushed. In day 1 and 3 and week 1, 3, and 5 after injury the sciatic crushed nerves were extracted. Total mRNA of samples was extracted and then cDNA was synthesized. The expression of metallothionein 1 and 2 genes was confirmed using semiquantitative RT-PCR (Reverse Transcription-Polymerase Chain Reaction) analysis. For immunohistochemistry analysis the samples were fixed in paraformaldehyde and cut in 20 micrometer slices by cryostat.

Results: The results showed that the expression of metallothionein was significantly higher in day 1 and 3 after crush injury compared with that of the intact (non-injured) nerves ($P < 0.0001$). Immunohistochemistry results also confirmed the protein expression of these genes.

Conclusion: The sciatic nerve injuries cause oxidative stress. This research found maximum up-regulation of metallothionein molecules in regeneration process, when oxidative stress have maximum peak and with more studies it may suggest as new complementary treatment.

Keywords: Crush injury, oxidative stress, antioxidant, metallothionein 1 and 2.

ارزیابی بیان ژن مولکول‌های متالوتیونین پس از آسیب عصب سیاتیک

فاطمه آقانصیر^۱حسن آقایی^۲عباسعلی ایمانی فولادی^۳محمد رضا نورانی^۴

چکیده

سابقه و هدف: آسیب به عصب محیطی تغییرات سلولی و مولکولی گسترده‌ای در نورون‌های آسیب دیده ایجاد می‌نماید که بسیاری از آن‌ها ناشناخته باقی مانده‌اند. یکی از این تغییرات افزایش تولید رادیکال‌های آزاد می‌باشد که به استرس اکسیداتیو منجر می‌شود. مواد آنتی‌اکسیدان از طریق اثر پاک‌کنندگی رادیکال‌های آزاد اکسیژن در ترمیم عصب شرکت می‌کنند. هدف از این مطالعه بیان ژن مولکول‌های متالوتیونین ۲ و ۱ پس از آسیب له شدگی عصب سیاتیک رت بوده است.

مواد و روش‌ها: در مطالعه تجربی حاضر عصب سیاتیک ۴۰ رتبا آسیب له شدگی مورد استفاده قرار گرفت. سپس ۱ و ۳ روز و ۱، ۳ و ۵ هفته پس از آسیب، عصب سیاتیک آسیب دیده خارج شد. ابتدا mRNA کامل از نمونه‌ها استخراج و سپس cDNA ساخته شد و بیان ژن‌های متالوتیونین ۲ و ۱ با استفاده از آنالیز نسخه‌برداری معکوس واکنش زنجیره‌ای پلیمرز نیمه کمی تایید شد. به منظور آزمایشات ایمنووهیستوشیمی نمونه‌ها در پارافورمالدئید فیکس شدند و با استفاده از کرایو استات برش‌های طولی به ضخامت ۲۰ میکرون زده شد.

یافته‌ها: نتایج نسخه‌برداری معکوس واکنش زنجیره‌ای پلیمرز در نمونه‌های دچار آسیب نشان داد که بیان ژن‌های متالوتیونین ۲ و ۱ در روزهای اول و سوم نسبت به نمونه‌های نرمال به صورت معنی‌داری ($p < 0.0001$) افزایش داشته است. نتایج ایمنووهیستوشیمی نیز در مورد این پروتئین تایید کننده بیان ژنی بود.

استنتاج: آسیب‌های وارد شده به عصب سیاتیک باعث تولید استرس اکسیداتیو می‌شود. مطالعه حاضر افزایش بیان مولکول‌های متالوتیونین را در روند ترمیم، زمانی که استرس اکسیداتیو بیش‌ترین افزایش را دارد، نشان می‌دهد و با آزمایشات تکمیلی ممکن است به عنوان مکمل در درمان مورد استفاده قرار گیرد.

واژه‌های کلیدی: آسیب له شدگی، استرس اکسیداتیو، آنتی‌اکسیدان، متالوتیونین ۲ و ۱

مقدمه

آسیب به عصب محیطی تغییرات سلولی و مولکولی در نورون‌های آسیب دیده و در محیط کوچک اطراف آکسون‌های آن‌ها ایجاد می‌نماید. در طول اولین هفته پس از آسیب، دژنراسیون والریان رخ می‌دهد که در

مؤلف مسئول: محمد رضا نورانی - تهران، خ ملاحدر، خ شیخ بهایی، دانشگاه علوم پزشکی بقیه ا...، مرکز تحقیقات نانوبیوتکنولوژی

E-mail: r.nourani@yahoo.com

۱. کارشناسی ارشد فیزیولوژی، گروه فیزیولوژی و بیوفیزیک، دانشکده پزشکی، دانشگاه علوم پزشکی بقیه ا... (عج)، تهران، ایران

۲. استادیار، گروه فیزیولوژی، دانشکده پزشکی، دانشگاه علوم پزشکی تهران، تهران، ایران

۳. دانشیار، مرکز تحقیقات میکروبیولوژی کاربردی، دانشگاه علوم پزشکی بقیه ا... (عج)، تهران، ایران

۴. دانشیار، مرکز تحقیقات نانوبیوتکنولوژی، دانشگاه علوم پزشکی بقیه ا... (عج)، تهران، ایران

✉ تاریخ دریافت: ۱۳۹۳/۹/۲۰ تاریخ ارجاع جهت اصلاحات: ۱۳۹۳/۹/۱۰ تاریخ تصویب: ۱۳۹۴/۲/۳

نتیجه آن، آکسون‌های دیستال و ورقه‌های میلین آن‌ها توسط ماکروفاژهای مهاجم فاگوسیت می‌شوند. سلول‌های شوآن مشتق شده از آکسون نقش کلیدی در تنظیم بسیج ماکروفاژها بازی می‌کنند. هم‌چنین به دنبال آسیب، سلول‌های شوآن باقی‌مانده در قطعه دیستال به سمت تکثیر شدن و بسیاری تغییرات در بیان ژن پیش می‌روند. این سلول‌های تکثیر یافته به سمت دیستال عصب مهاجرت می‌کنند تا زمینه رشد مجدد آکسون‌ها را فراهم کنند و عصب دوباره بازسازی شده و ترمیم (رژنراسیون) صورت گیرد (۱). ویژگی‌های بافت‌شناسی دژنراسیون والریان به صورت گسترده‌ای توصیف شده است در حالی که مکانیسم‌های سلولی و مولکولی مربوط به آن به طور زیادی ناشناخته باقی مانده است (۲). آسیب عصب ممکن است به طول زمان له شدگی مربوط باشد. در یک مطالعه پایلوت نشان داده شد که به طور ویژه ۶۰ ثانیه فشار در عصب سیاتیک آسیب ایجاد می‌کند (۳). پس از آسیب ناشی از تخریب بافت، رادیکال‌های آزاد اکسیژن افزایش می‌یابند و آسیب بافتی ایجاد می‌کنند (۴، ۵). رادیکال‌های آزاد می‌توانند به لپیدها، پروتئین‌ها و یا DNA سلولی آسیب زده و عملکرد نرمال آن‌ها را مهار نمایند (۶). رادیکال‌های آزاد باعث آسیب به بافت‌های بدن شده و عامل بیماری‌های التهابی، سرطان، تخریب سلول‌های عصبی، آترواسکلروز (۷)، بیماری‌های قلبی-عروقی و اوتیسم می‌باشند (۸). افزایش تولید رادیکال‌های آزاد و گونه‌های واکنشی اکسیژن (Reactive Oxygen Species یا ROS) به استرس اکسیداتیو منجر می‌شود که این استرس نقش مهمی در آسیب دیدگی عصب محیطی تروما دیده بازی می‌کند (۹). هم‌چنین استرس اکسیداتیو می‌تواند بیماری‌هایی از قبیل آلزایمر، دیابت، انسداد مزمن ریوی، آرتریتر روماتوئید و بسیاری از اختلالات نورولوژیک را ایجاد نماید (۱۰، ۱۱).

بدن سیستم‌های آنتی‌اکسیدانت حفاظتی بر علیه تولید رادیکال‌های آزاد در اختیار دارد از جمله

متالوتیونین‌ها (Metallothioneine یا MT) که نقش مهمی در سم‌زدایی و حذف رادیکال‌های آزاد ایفا می‌کنند (۱۲). متالوتیونین‌ها به خانواده‌ای از پروتئین‌های با وزن مولکولی پایین (۶ تا ۷ کیلو دالتون) متصل شونده به فلزات (Low molecular weight metal associated protein) تعلق دارند که حداقل توسط ۱۰ ژن عملکردی متالوتیونین کد می‌شوند (۱۳). خانواده متالوتیونین‌ها از چهار عضو تشکیل شده‌اند، شامل MT1 تا MT-4. MT-1 و MT-2 در تقریباً تمام بافت‌ها که CNS را هم شامل می‌شود، بیان می‌شوند در حالی که MT-3 (که فاکتور مهارش رشد یا Growth inhibitory factor (GIF) نیز نام دارد) و MT-4 به طور غالب در مغز بیان می‌شوند (۱۴). متالوتیونین‌ها پروتئین‌های با عملکرد چندگانه هستند که MT-1 و MT-2 در اکثر بافت‌ها بیان می‌شوند در حالی که MT-3 و MT-4 غالباً به ترتیب در CNS و اپی‌تلیال‌های مکعبی بیان می‌شوند (۱۵). ایزوفرم‌های MT-1 و MT-2 به صورت بارزی مشابه هستند و هم‌زمان با هم تنظیم می‌شوند و بنابراین اغلب به عنوان یک ایزوفرم واحد (MT-1/2) در نظر گرفته می‌شوند (۱۵، ۱۶) و نقش پاک کردن رادیکال‌های آزاد را دارا می‌باشند (۱۳، ۱۷، ۱۸).

Hidalgo و همکاران گزارش کردند بیان MT-1/2 در پاسخ به آسیب بافتی افزایش می‌یابد (۱۹). متالوتیونین مواد مضر در گیر در پاتوفیزیولوژی شرایط نورودژنراتیو را پاک می‌کند (۲۲-۲۰). عملکرد آنتی‌اکسیدانی MT-1 و MT-2 اجزای سلولی را از اثرات آسیب زنده ROS حفظ می‌کند (۲۳). موش‌های با نقص MT-1/2 نسبت به حالت نرمال در معرض مقدار بیش‌تری از ROS و استرس اکسیداتیو ناشی از رادیکال‌های آزاد قرار می‌گیرند و رادیکال‌های آزاد اثرات مخرب خود را بر جای می‌گذارند (۲۴).

نتایج مطالعه Ding و همکاران نشان می‌دهد که آسیب حرارتی شدید بیان متالوتیونین کبدی را هم در سطح پروتئین و هم در سطح mRNA افزایش

می‌دهد (۲۵). آسیب حرارتی شدید که باعث افزایش ترشح گلوکوکورتیکوئیدها می‌شود، قادر به القای بیان متالوتیونین می‌باشد (۲۶). در موش‌ها دیده شده است در بسیاری از اندام‌ها بعد از تابش اشعه گاما، سنتز القا شده متالوتیونین بالا می‌رود. هم‌چنین متالوتیونین‌ها در حفاظت در برابر جراحات مغزی شرکت می‌کنند و دارای تأثیر ضد آپوپتوزی نیز می‌باشند (۲۵).

MT-1/2 در سیستم اعصاب مرکزی هم مهم هستند و بیان آن‌ها در هنگام استرس، اختلالات نورودژنراتیو مثل بیماری آلزایمر، amyotrophic lateral sclerosis (ALS)، ایسکمی، آسیب‌های کرایو افزایش می‌یابد (۲۷، ۱۷). مطالعات دیگر نشان می‌دهند که کاربرد MT-1/2 اختلالات نورودژنراتیو CNS را بهبود می‌دهد (۲۸)، در مقابل گزارشات کمی در مورد متالوتیونین در شرایط عصب محیطی نرمال و پاتولوژیک موجود است (۲۹) اخیراً گزارش کرده‌اند که با اضافه کردن مستقیم MT-1/2 به نوروهای آسیب دیده در محیط کشت، جوانه زدن ترمیمی آکسون‌ها پس از آسیب افزایش می‌یابد (۳۰). در این آزمایشات هیچ سلول گلیال یا سلول سیستم ایمنی در محیط وجود نداشت و این نشان می‌دهد که MT-1/2 خارج سلولی می‌تواند مستقیماً روی نوروهای آسیب دیده عمل نماید که در واقع خارج از سیتوپلاسم آستروسیت‌ها می‌باشد. این آزمایشات هم‌چنین نشان دادند که MT-1/2 اگزوزن رشد ترمیمی نوروهای قشر مغز (۳۰)، نوروهای دوپامینرژیک، و نوروهای هیپوکامپ (۳۱) و سلول‌های گانگلیونی شبکه (۱۶) را تسریع می‌بخشد و پیشنهاد می‌کند که پاسخ نوروئی به MT-1/2 خارج سلولی وجود دارد (۳۲). موش‌هایی که ژن MT آن‌ها خاموش شده است و با بستن شریان مغزی، آسیب مغزی در آن‌ها ایجاد شده است، افزایش التهاب، استرس اکسیداتیو و آپوپتوز را نشان می‌دهند و در مقایسه با موش‌های وحشی (wild-type) ریکاورای آن‌ها تاخیر دارد (۳۳)، در نتیجه متالوتیونین ۲۱

آنتی‌اکسیدان و فاکتورهای حفاظت کننده نوروئی هستند. بدون میلین شدن و آسیب آکسونی به طور عمده در موش‌های فاقد متالوتیونین ۲۱ در حین التهاب میلین مغزی افزایش می‌یابد. بر این اساس متالوتیونین ۲۱ نقش‌های حفاظتی و رژنراتیو در مغز دارند (۳۴) و استرس اکسیداتیو را کاهش داده و ترمیم بافت مغزی را افزایش می‌دهند (۳۵). موش‌هایی که افزایش بیان MT-1 داشتند، علیه ایسکمی و خون‌رسانی مجدد مغزی فوکل حفاظت می‌شدند و انفارکت‌های کم‌تر و ریکاورای عملکردی بهتری از گروه کنترل نشان می‌دادند (۳۶). اخیراً کشف کرده‌اند که MT-2 A انسانی اگزوزن (مهم‌ترین ایزوفرم انسانی MT-1/2) توسط عمل مستقیم بر روی نوروها توانایی افزایش ریکاورای نوروئی به دنبال آسیب را داراست (۳۰). پس از آسیب فوکل به نئوکورتکس رت، سلول‌های گلیال NG2 کشت داده شدند. این سلول‌ها با بیان مولکول‌های MT-1/2 باعث تسریع ترمیم آکسونی می‌شوند (۳۷).

تغییرات در بیان mRNA مولکول‌های آنتی‌اکسیدان که پس از آسیب و ترمیم عصب محیطی به وقوع می‌پیوندد، هنوز کاملاً شناخته نشده است (۳۸). با توجه به نقش مؤثر آنتی‌اکسیدان‌ها در سم زدایی محصولات تولید شده ناشی از استرس‌های اکسیداتیو و هم‌چنین تولید رادیکال‌های آزاد ناشی از آسیب عصب محیطی، انتظار می‌رود تا بیان بعضی از ژن‌های آنتی‌اکسیدان در قطعه دیستال عصب محیطی آسیب دیده تغییر نمایند. بر همین اساس در مطالعه حاضر بیان ژن‌های متالوتیونین ۱ و ۲ و پروتئین متالوتیونین ۱ پس از آسیب له شدگی عصب سیاتیک موش بزرگ آزمایشگاهی ارزیابی شده است تا نقش این مولکول در مراحل آسیب و ترمیم ضایعات اعصاب محیطی بیش‌تر آشکار گردد. با توجه به این که در ایران به این جنبه از ترمیم عصب یعنی به کارگیری روش‌های فیزیولوژی مولکولی در درمان ضایعات اعصاب محیطی کم‌تر پرداخته شده است بنابراین امید است نتایج این تحقیق در آینده بتواند در

درمان ضایعات ایجاد شده در اثر آسیب‌های له شدگی اعصاب محیطی درصدمات ناشی از جنگ، سوانح رانندگی و فعالیت‌های ورزشی، مصدومین حوادث طبیعی مانند زلزله و له‌شدگی عصب در نتیجه اعمال جراحی در مناطقی نزدیک به اعصاب محیطی، موثر باشد.

مواد و روش‌ها

در مطالعه تجربی حاضر از موش‌های صحرایی نر نژاد ویستار با میانگین وزنی ۲۰۰ تا ۲۵۰ گرم استفاده شد. حیوانات از انستیتو پاستور ایران تهیه شدند. سیکل روشنایی / تاریکی ۱۲ ساعته، دمای 22 ± 2 درجه سانتی‌گراد، رطوبت ۵۵ درصد و دسترسی آزاد به آب و غذا تامین گردید. ۴۰ سر رت به ۵ گروه ۸ راسی تقسیم شد. گروه‌ها شامل ۱ و ۳ روز، ۱ و ۳ و ۵ هفته پس از جراحی بودند. ۵ رت با عصب سیاتیک سالم به صورت تصادفی انتخاب شده و به عنوان گروه کنترل در نظر گرفته شد. بر اساس فرمول Read & Munch در هر گروه ۵ رت به منظور آزمایشات مولکولی و ۳ رت به منظور آزمایشات ایمونوهیستوشیمی به صورت تصادفی انتخاب شدند.

رت‌ها به وسیله ماده بیهوشی کتامین به مقدار ۹۰ mg/kg و زایلازین به مقدار ۱۰ mg/kg به صورت داخل صفاقی بیهوش شدند. پس از تراشیدن موی پای راست حیوان، پوست ناحیه توسط بتادین و الکل تمیز گردید. پس از ثابت نگه داشتن دست و پای حیوان توسط مکان‌های مشخص شده بر روی تخت عمل جراحی، برشی در پوست خلفی خارجی ران ایجاد شد. عضله و فاسیا را به آرامی کنار زده شد و عصب سیاتیک را در فاصله بین بریدگی سیاتیک تا محل دو شاخه شدن اعصاب تیپیا و پروتئال مشترک نمایان گردید. ۵ میلی‌متر پایین‌تر از بریدگی سیاتیک با استفاده از فورسپس به مدت ۶۰ ثانیه تحت فشار قرار داده شد، محل آسیب با بخیه زدن نزدیک‌ترین عضله به محل له‌شدگی با استفاده از نخ بخیه ۵ صفر سیلک غیر قابل

جذب نشانه‌گذاری گردید و سپس عضلات کنار هم گذاشته و پوست بخیه زده شد. ۱ و ۳ روز و ۱، ۳ و ۵ هفته پس از آسیب، ۵ میلی‌متر از عصب سیاتیک پایین‌تر از محل آسیب خارج گردید و تا شروع آزمایشات مولکولی در ۸۰- نگهداری شد.

بررسی بیان ژن‌ها به روش نسخه برداری معکوس

واکنش زنجیره ای پلیمرز

در ابتدا استخراج RNA با استفاده از محلول Trepure Isolation Reagent (Roch, Germany) طبق دستورالعمل انجام شد. نمونه‌های بافت عصب که در زمان‌های اشاره شده خارج شده‌اند با استفاده از دستگاه هوموژنایزر یا اولتراسونیک، هوموژن گردید. سپس نمونه‌ها به مدت ۵ دقیقه در دمای محیط قرار داده شد و سپس ۲۰۰ ماکرولیتر کلروفرم به تیوب‌های محتوی نمونه اضافه گردید و به خوبی هم زده شد تا فاز بی‌رنگ بر روی فاز رنگی قرار بگیرد پس از قرار دادن به مدت ۵ دقیقه در دمای ۴ درجه سانتی‌گراد، به مدت ۱۵ دقیقه در دمای ۴ درجه سانتی‌گراد و با دور ۱۲۰۰۰ rpm سانتریفیوژ شدند. پس از سانتریفیوژ، فاز روئی توسط سمپلر عاری از RNAse (RNase free) به آرامی جدا و به میکروتیوب‌های استریل منتقل و هم حجم آن ایزوپروپانول به آرامی مخلوط شد و به مدت ۱۵ دقیقه بر روی یخ قرار گرفت. سپس به مدت ۱۵ دقیقه در دمای ۴ درجه سانتی‌گراد در دور ۱۲۰۰۰ rpm سانتریفیوژ گردید. رسوب، جداسازی شد و به آن ۱ میلی‌لیتر اتانول ۷۵ درصد اضافه گردید و به مدت ۸ دقیقه در دمای ۴ درجه سانتی‌گراد در دور ۷۵۰۰ rpm سانتریفیوژ شد. در نهایت RNA در آب تیمار شده با Diethylpyrocarbonate (DEPC) حل شد. پس از استخراج RNA به منظور ارزیابی کمیّت RNA استخراج شده و تعیین غلظت و درجه خلوص آن از دستگاه اسپکتروفوتومتر نانو دراپ (NanoDrop, USA) استفاده شد. این دستگاه به طور اتوماتیک غلظت RNA

جدول شماره ۱: پرایمرهای طراحی شده برای بررسی بیان ژن های مورد مطالعه

ژن ها	توالی پرایمرها	دمای اتصال (°C)	اندازه (bp)
MT-1A	Forward: 5' tgccttctgtcgcttaacac3' Reverse: 5' tgcctcactcaggacacagc3'	۶۴°C	۲۴۲
MT-2A	Forward: 5' tagaactctgcagcagatctc3' Reverse: 5' tccgaagcctcttgcagat3'	۶۵°C	۲۱۶
β-actin	Forward: 5' tcatgaagatcctcaccagag3' Reverse: 5' ttgccaatggtgatgacctg3'	۵۸°C	۱۹۰

با استفاده از نرم افزار Scion Image بیان ژن ها از حالت کیفی به صورت کمی تبدیل می شود. سپس در مورد هر یک از ژن های MT-1 و MT-2 بیان آن ژن در هر نمونه به بیان ژن بتا اکتین در همان نمونه تقسیم می شود و میانگین بیان ژن/بتا اکتین محاسبه می گردد. برای تجزیه و تحلیل داده های PCR از نرم افزار SPSS 17 استفاده شد. تمام نتایج حاصله صورت میانگین \pm خطای استاندارد (Means \pm SEM) ارائه شده است. از آن جا که داده ها از توزیع نرمال برخوردار بودند از آزمون آنالیز واریانس دو طرفه (Two Way ANOVA) با Post Hoc توکی (Tukey) برای مقایسه گروه ها استفاده گردید. اختلاف معنی دار در سطح $p < 0.05$ برای تمامی موارد در نظر گرفته شد.

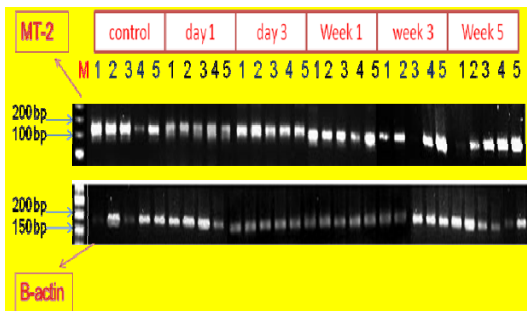
آزمایشات ایمنووهیستوشیمی

نمونه های جمع آوری شده در محلول فیکساتیو بافر پارافورمالدئید ۴ درصد قرار داده شدند و سپس به محلول ساکروز ۳۰ درصد منتقل گردیدند و تا انجام آزمایشات در ۴ درجه سانتی گراد نگهداری شدند. برش های یخی از عصب ها با میکروتوم کرایو استات به ضخامت ۲۰ میکرومتر تهیه و بر روی اسلاید های پوشش داده شده با سیلان قرار گرفتند. اسلاید های حاوی برش ها با آنتی بادی اولیه مونوکلونال MT-1A (شرکت Ab Cam) با غلظت ۱:۲۰۰ در دمای ۴ درجه سانتی گراد و به مدت ۱۲ ساعت انکوبه شد و پس از شستشو با محلول بافر سدیم فسفات (PBS)، آنتی بادی ثانویه Anti mouse IgG Biotinilated به مدت ۱ ساعت انکوبه گردید و سپس با سیستم اویدین- بیوتین

را با استفاده از جذب نوری در طول موج ۲۶۰ نانومتر محاسبه می کند. پس از آماده سازی نمونه و گذاردن آن در مکان قرارگیری نمونه، دستگاه غلظت نمونه مورد نظر را در طول موج مربوطه، بر حسب نانوگرم بر میکرولیتر، محاسبه می نماید. از طرفی نمونه RNA دارای کیفیت استاندارد می باشد که الگوی باند ویژه ای را روی ژل آگاروز نشان می دهد. حضور باند های RNA ریبوزومی ۱۸ S و ۲۸ S نشان دهنده سالم و دست نخورده بودن RNA است. در این مطالعه برای ارزیابی کیفیت RNA استخراج شده، الکتروفورز نمونه های RNA بر روی ژل آگاروز ۱ درصد انجام شد.

۵۰۰ نانو گرم از RNA استخراج شده از نمونه های عصب سیاتیک به عنوان الگو جهت سنتز cDNA، مطابق با کیت ساخت cDNA (Bioneer, Korea) استفاده شد. سپس برنامه زمانی - دمایی به صورت ۲۵ درجه سانتی گراد به مدت ۳۰ ثانیه، ۴۳ درجه سانتی گراد به مدت ۴ دقیقه، ۵۵ درجه سانتی گراد به مدت ۳۰ ثانیه (۱۲ سیکل) و ۹۵ درجه سانتی گراد به مدت ۵ دقیقه (دمای غیر فعال سازی) انجام شد. پس از اتمام سنتز cDNA، میکروتیوپ ها به فریزر -۲۰ درجه سانتی گراد منتقل گردید. سپس از cDNA سنتز شده به عنوان الگو برای PCR استفاده شد. برای پی بردن به میزان بیان ژن MT از پرایمرهای جدول شماره ۱ استفاده شد و به منظور نرمال سازی بیان این ژن، بیان β-actin به عنوان یک ژن خانه دار (House keeping gene) استفاده شد. برنامه زمانی - دمایی PCR شامل ۹۴ درجه سانتی گراد به مدت ۳ دقیقه، ۳۳ سیکل با دمای ۹۴ درجه سانتی گراد به مدت ۴۵ ثانیه، ۶۴ و ۶۵ درجه سانتی گراد (به ترتیب برای MT-1A و MT-2A) به مدت ۳۰ ثانیه، ۷۲ درجه سانتی گراد به مدت ۴۰ ثانیه و در نهایت ۷۲ درجه سانتی گراد به مدت ۵ دقیقه بود. محصولات PCR روی ژل آگارز ۱/۵ درصد جدا و با اتیدیوم بروماید قابل مشاهده شدند و سپس با دستگاه ترانس لومیناتور UV (uvidoc) ارزیابی شدند.

ب) الکتروفورز نتایج RT-PCR ژن بتا اکتین نمونه‌های مذکور: چاهک (M) شاخص اندازه ملکولی (bp) 50 (غلظت 50 نانوگرم بر میکرولیتر)، چاهک‌های پس از M به ترتیب نمونه‌های A, B, C, D, E گروه‌های نرمال، 1 روز، 3 روز، 1 هفته، 3 هفته و 5 هفته را نشان می‌دهد. نتایج نشان داد که میزان بیان ژن MT-1 در گروه‌های دچار آسیب در روزهای اول و سوم و هفته اول پس از آسیب نسبت به گروه نرمال افزایش داشته است.



تصویر شماره ۲: الف) الکتروفورز نتایج RT-PCR ژن MT-2 نمونه‌های عصب سیاتیک آسیب دیده و نمونه‌های عصب سیاتیک نرمال: چاهک (M) شاخص اندازه مولکولی 100 bp (غلظت 50 نانوگرم بر میکرولیتر)، چاهک‌های پس از M به ترتیب نمونه‌های A, B, C, D, E گروه‌های نرمال، 1 روز، 3 روز، 1 هفته، 3 هفته و 5 هفته نشان می‌دهد بیان این ژن در نمونه‌های عصب سیاتیک دچار آسیب شده افزایش یافته است.

ب) الکتروفورز نتایج RT-PCR ژن بتا اکتین نمونه‌های مذکور: چاهک (M) شاخص اندازه ملکولی 50bp (غلظت 50 نانوگرم بر میکرولیتر)، چاهک‌های پس از M به ترتیب نمونه‌های A, B, C, D, E گروه‌های نرمال، 1 روز، 3 روز، 1 هفته، 3 هفته و 5 هفته را نشان می‌دهد. نتایج نشان داد که میزان بیان ژن MT-2 در گروه‌های دچار آسیب در روزهای اول و سوم و هفته اول پس از آسیب نسبت به گروه نرمال افزایش داشته است.

جدول شماره ۲: مقادیر میانگین \pm خطای استاندارد مربوط به بیان ژن MT-2 و MT-1 در هر نمونه / بیان ژن بتا اکتین همان نمونه به تفکیک گروه‌ها

Mean(MT-2/B-actin) \pm SEM	Mean(MT-1/B-actin) \pm SEM	گروه
0.11 \pm 2.06218	0.04 \pm 2.03567	کنترل
0.04 \pm 3.50207	0.02 \pm 2.82423	روز اول
0.12 \pm 3.71466	0.05 \pm 2.89530	روز سوم
0.05 \pm 2.82142	0.03 \pm 2.13261	هفته اول
0.1 \pm 2.87522	0.02 \pm 2.13261	هفته سوم
0.04 \pm 2.58694	0.01 \pm 2.6374	هفته پنجم

(ABC) و دی آمینو بنزیدین (DAB) محل‌های حضور کمپلکس آنتی-ژن-آنتی بادی قابل رویت شده و با میکروسکوپ نوری مورد تجزیه و تحلیل قرار گرفتند.

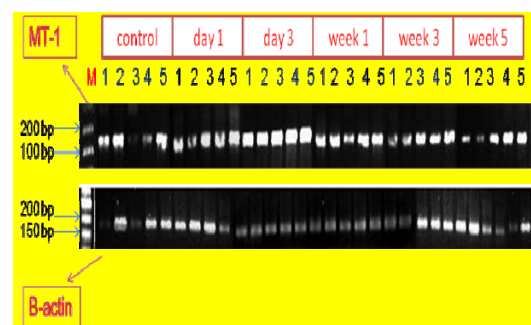
یافته‌ها

بیان ژن MT-1A در نمونه‌های عصب سیاتیک آسیب دیده و نمونه‌های عصب سیاتیک نرمال در تصویر شماره ۱ آورده شده است.

بیان ژن MT-2A در نمونه‌های عصب سیاتیک آسیب دیده و نمونه‌های عصب سیاتیک نرمال در تصویر شماره ۲ آورده شده است.

به منظور نرمال کردن شرایط بیان ژن MT-2 و MT-1 در هر نمونه به بیان ژن بتا اکتین همان نمونه تقسیم شده و سپس میانگین 5 نمونه در هر گروه گرفته شده است (جدول شماره ۲).

نتایج به دست آمده از تحلیل آماری حاکی از این بود که بیان ژن MT-1 در گروه‌های دچار آسیب در روزهای اول و سوم پس از آسیب نسبت به گروه نرمال به طور معنی داری افزایش داشته است ($p < 0.0001$) (نمودار شماره ۱).

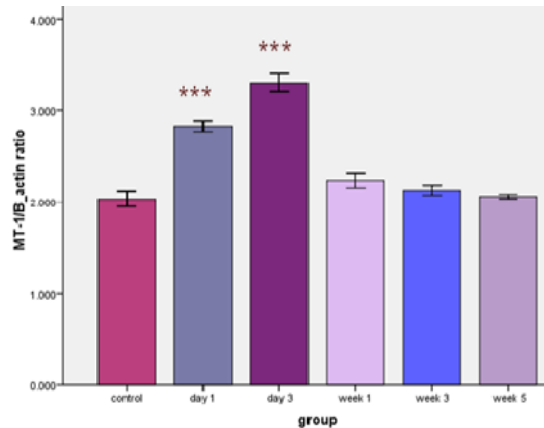


تصویر شماره ۱: الف) الکتروفورز نتایج RT-PCR ژن MT-1 نمونه‌های عصب سیاتیک آسیب دیده و نمونه‌های عصب سیاتیک نرمال: چاهک (M) شاخص اندازه مولکولی 100 bp (غلظت 50 نانوگرم بر میکرولیتر)، چاهک‌های پس از M به ترتیب نمونه‌های A, B, C, D, E گروه‌های نرمال، 1 روز، 3 روز، 1 هفته، 3 هفته و 5 هفته نشان می‌دهد بیان این ژن در نمونه‌های عصب سیاتیک آسیب دیده افزایش یافته است.

آنالیزهای آماری نشان می دهند بیان ژن MT-2A در روزهای اول و سوم پس از آسیب نسبت به گروه کنترل به طور معنی داری افزایش داشته است. داده ها به صورت میانگین \pm خطای استاندارد گزارش شده اند.

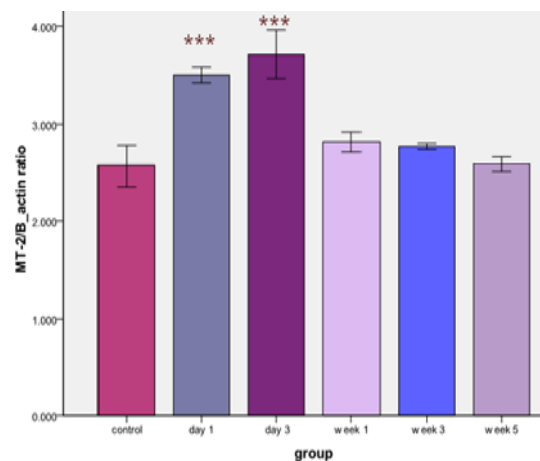
بیان پروتئین MT-1A

برش های طولی تهیه شده از عصب های سیاتیک نمونه های نرمال و ۱ و ۳ روز و ۱، ۳ و ۵ هفته پس از ایجاد آسیب با آنتی بادی مونوکلونال MT-1 به روش ایمنو هیستوشیمی رنگ آمیزی شدند. برش طولی نمونه نرمال عصب (کنترل)، فقط یک رنگ زمینه ای فیبرهای عصبی میلینی را به صورت دسته های منظم و موجی شکل نشان می دهد و هیچ گونه عکس العمل به آنتی بادی دیده نمی شود (تصویر شماره ۳-A). مشابه مورفولوژیکی این الگو در یک روز بعد از آسیب نیز به چشم می خورد و عکس العمل ضعیفی به آنتی بادی را نشان می دهد (تصویر شماره ۳-B). سازمان دهی منظم فیبرهای عصبی از روز سوم پس از آسیب به صورت تصاعدی دچار بی نظمی شده است و عکس العمل ایمنی در روز سوم بسیار شدید است که نمایان گر بیان حداکثری در این مرحله می باشد (تصویر شماره ۳-C و تصویر شماره ۴-A و B). در هفته اول پس از آسیب بی نظمی فیبرهای عصبی به حداکثر می رسد و شدت بیان آنتی بادی کاهش دارد (تصویر شماره ۳-). در هفته سوم پس از آسیب نمای مورفولوژیکی عصب بازسازی شده و شدت واکنش به آنتی بادی MT-1 نیز کاهش می یابد (تصویر شماره ۳-E). در هفته پنجم فیبرهای عصبی به صورت موازی و در امتداد طولی عصب کنار یکدیگر به صورت منظم قرار می گیرند و با توجه به مورفولوژی به نظر می رسد که عصب ترمیم یافته است و فقط یک رنگ زمینه ای فیبرهای عصبی میلینی را به صورت دسته های منظم و موجی شکل نشان می دهد و هیچ گونه عکس العمل به آنتی بادی دیده نمی شود (تصویر شماره ۳-F)



نمودار شماره ۱: بررسی کمی بیان ژن MT-1A در گروه های آزمایش. *** نشان دهنده معنی دار بودن گروه ها نسبت به گروه کنترل است ($p < 0.0001$).

آنالیزهای آماری نشان می دهند بیان ژن MT-1A در روزهای اول و سوم پس از آسیب نسبت به گروه کنترل به طور معنی داری افزایش داشته است. داده ها به صورت میانگین \pm خطای استاندارد گزارش شده اند. نتایج به دست آمده از تحلیل آماری حاکی از این بود که بیان ژن MT-2 نیز در گروه های آسیب دیده در روزهای اول و سوم پس از آسیب نسبت به گروه نرمال به طور معنی داری افزایش داشته است ($p < 0.0001$) (نمودار شماره ۲).



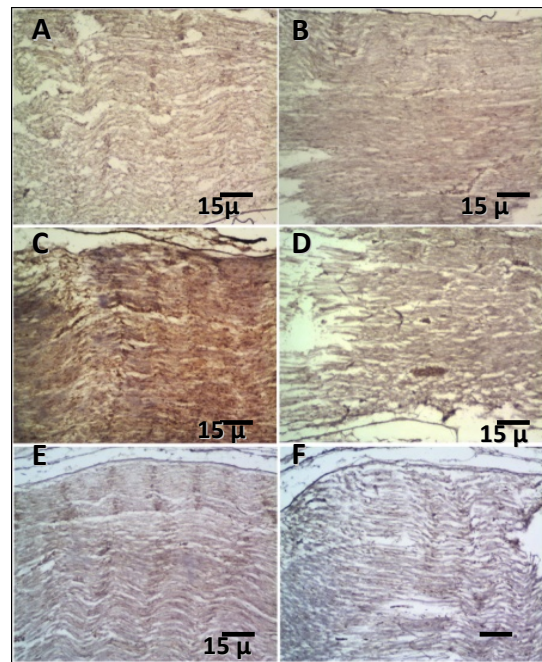
نمودار شماره ۲: بررسی کمی بیان ژن MT-2A در گروه های آزمایش. *** نشان دهنده معنی دار بودن گروه ها نسبت به گروه کنترل است ($p < 0.0001$).

می توانند مستقیماً از طریق واکنش با رادیکال‌های آزاد یا غیر مستقیم با مهار فعالیت یا بیان آنزیم‌های تولیدکننده رادیکال آزاد و همچنین افزایش فعالیت یا بیان آنزیم‌های آنتی‌اکسیدان درون سلولی، آسیب اکسیداتیو را کاهش دهند (۸).

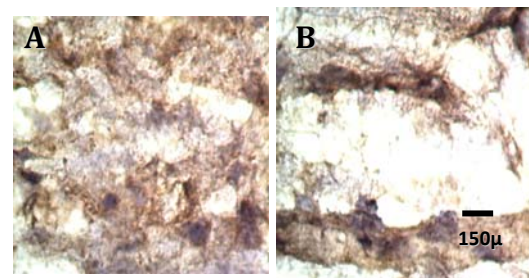
نتایج مطالعه Lanza و همکاران نشان داد پس از آسیب عصب محیطی، آنزیم‌های آنتی‌اکسیدان در قطعه دیستال افزایش بیان دارند که این حالت به افزایش استرس اکسیداتیو در این ناحیه اشاره می‌کند (۳۸). در آسیب‌های عصب به دلیل وجود مقادیر زیاد لیپید در بافت عصبی غلظت مالون دی‌آلدئید (شاخص پراکسیداسیون لیپیدی) افزایش می‌یابد که در مدل له شدگی عصب سیاتیک در روز اول پس از آسیب غلظت آن بیش‌ترین افزایش را دارد و به تدریج تا پایان هفته اول به میزان نرمال بر می‌گردد (۴).

MT-1/2 پروتئین‌های آنتی‌اکسیدان قوی (potent) هستند و توسط استرس اکسیداتیو ایجاد می‌شوند (۱۴). گزارش شده است که متالوتیونین‌ها عملکرد مهمی در ترمیم عصب و در حفاظت علیه استرس اکسیداتیو در سیستم عصبی محیطی دارند (۲۹). نتایج تحقیق حاضر نشان داد میزان بیان ژن و پروتئین MT-1 و MT-2 در روز اول و سوم پس از آسیب نسبت به عصب نرمال به طور معنی‌داری ($p < 0/0001$) افزایش نشان می‌دهد که این افزایش در روز سوم ماکزیمم مقدار را نشان می‌دهد و به تدریج تا پایان هفته پنجم به میزان نرمال بر می‌گردد لذا حضور این پروتئین‌ها به عنوان تسریع‌کننده ترمیم عصب قابل توجه است. ایزوفورم‌های MT-1 و MT-2 به صورت بارزی مشابه هستند و همزمان با هم تنظیم می‌شوند و بنابراین اغلب به عنوان یک ایزوفورم واحد (MT-1/2) در نظر گرفته می‌شوند (۱۵، ۱۶) نتایج مطالعه حاضر نیز نشان داد که میزان بیان این دو مولکول بسیار مشابه یکدیگر است.

اخیراً گزارش کرده‌اند که با اضافه کردن مستقیم MT-1/2 به نورون‌های آسیب دیده در محیط کشت،



تصویر شماره ۳: برش‌های طولی از نمونه‌های عصب سیاتیک (بزرگنمایی ۱۰۰X). (A) نرمال. (B) یک روز پس از آسیب. (C) سه روز پس از آسیب. (D) یک هفته پس از آسیب. (E) سه هفته پس از آسیب. (F) پنج هفته پس از آسیب. رنگ قهوه‌ای نشان دهنده عکس‌العمل به آنتی‌بادی MT-1 و حضور پروتئین مورد نظر می‌باشد. رنگ قهوه‌ای نشان دهنده عکس‌العمل به آنتی‌بادی MT-1 و حضور پروتئین مورد نظر می‌باشد.



تصویر شماره ۴: برش‌های طولی از نمونه‌های عصب سیاتیک (بزرگنمایی ۱۰۰۰X). (A و B) سه روز پس از آسیب. رنگ قهوه‌ای نشان دهنده عکس‌العمل به آنتی‌بادی MT-1 و حضور پروتئین مورد نظر می‌باشد.

بحث

پس از آسیب ناشی از تخریب بافت عصب محیطی، رادیکال‌های آزاد اکسیژن افزایش می‌یابند و آسیب بافتی ایجاد می‌کنند (۴، ۵). آنتی‌اکسیدان‌ها

Stankovic و همکاران در مطالعه خود گزارش کردند در MT-1، PNS و MT-2 در آکسون‌های ریشه قدامی طناب نخاعی شناسایی نمی‌شود اما در غلاف میلین احاطه کننده این آکسون‌ها یافت می‌گردد (۳۹). Stankovic در مطالعه دیگری گزارش داد آکسون‌های میلینه بزرگ در موش‌هایی که ژن‌های MT-1 و MT-2 آن‌ها خاموش شده بودند، آتروفی نشان می‌دهد (۲۴). Ceballosa و همکاران به منظور بررسی نقش فیزیولوژیک پروتئین‌های خانواده متالوتونین در حین آسیب و ترمیم عصب محیطی، ژن‌های MT-1/2 و MT-3 موش‌ها را خاموش کردند و عصب سیاتیک راست موش‌ها را با فورسیس سه بار، هر بار به مدت ۳۰ ثانیه دچار له شدگی کردند. سپس فاصله ترمیم را با Pinch Test ۲ تا ۷ روز پس از آسیب و الکتروفیزیولوژی را ۱۴ روز پس از آسیب ارزیابی کردند. نتایج نشان دادند فاصله ترمیم در موش‌های (Knockout) mt3 KO از موش‌های MT-1/2 KO بیش تر بود و تعداد آکسون‌های ترمیم شده در سمت دیستال عصب در روز ۱۴ پس از آسیب در موش‌های MT3 KO نسبت به سایر گروه‌ها بیش تر بود. ترمیم بهبود یافته توسط پتانسیل‌های عمل مرکب عصب، ۱۴ روز پس از آسیب تنها در گروه موش‌های MT3 KO اثبات شد (۲۷).

Oki و همکاران آنالیز پروفایل پروتئین‌های اعصاب آسیب دیده در بیماران دارای CPRS-2 یا Complex regional pain syndrome) را با استفاده از یافته‌های پروتئومیک انجام دادند و فقدان MT را در این بیماران گزارش کردند. در این بیماری اعصاب مرکزی و محیطی دچار التهاب می‌شود و از آنجا که ROS یکی از محرک‌های مهم افزایش بیان MT می‌باشد، پیشنهاد می‌شود که فقدان MT ممکن است حفاظت و ترمیم عصب آسیب دیده را از بین برده و به پیشرفت بیماری منجر گردد. در نتیجه MT ها می‌توانند در حفظ PNS از آسیب و در ترمیم PNS پس از آسیب مهم باشند (۱۷). Hashimoto و همکاران در مطالعه خود آسیب طناب

جوانه زدن ترمیمی آکسون‌ها پس از آسیب افزایش می‌یابد (۱۶، ۳۰، ۳۱). در این آزمایشات هیچ سلول گلیال یا سلول سیستم ایمنی در محیط وجود نداشت و این نشان می‌دهد که MT-1/2 خارج سلولی می‌تواند مستقیماً روی نورون‌های آسیب دیده عمل نماید که در واقع خارج از سیتوپلاسم آستروسیت‌ها می‌باشد. Chung و همکاران نیز گزارش کردند تزریق MT-1/2 به داخل و پتیره درست بلافاصله پس از قطع کامل عصب باعث ترمیم آکسونی تا ۱۰۰۰ میکرومتر بعد از محل برش می‌شود (۱۵). همچنین MT-1/2 خارج سلولی رشد عصبی و ترمیم آکسونی را در حالت *in vivo* به دنبال آسیب به مغز (۳۰) یا آسیب به عصب محیطی (سیاتیک) تسریع می‌بخشد. این یافته‌ها نشان می‌دهد که MT-1/2 می‌تواند به عنوان یک تداخل دارویی برای تسریع ترمیم آکسونی باشد (۱۵). Stankovic و همکاران، موش‌هایی که ژن MT-1/2 آن‌ها خاموش شده بود را از نظر عملکرد نوروفیلانمنت‌ها در عصب فرنیک بررسی کردند و مشاهده کردند که چگالی نوروفیلانمنت‌ها در آکسون‌های این موش‌ها کاهش داشت و بیان کردند که این اثر به دلیل اثرات استرس اکسیداتیو روی نوروفیلانمنت‌ها می‌باشد. این مشاهدات نشان می‌دهند که متالوتونین‌ها می‌توانند در بیماری‌هایی شبیه amyotrophic lateral sclerosis (ALS) که فازهای پایانی عصب فرنیک درگیر می‌شود و تنفس دچار اختلال می‌شود، استفاده گردد (۲۹). در یک مطالعه آسیب فوکال به نئوکورتکس وارد شد و بیان پروتئین‌های MT-1/2 به روش وسترن بلات در روزهای ۷ و ۱۴ پس از آسیب بررسی شد و مشاهده گردید که بیان این دو پروتئین مثبت بود (۱۵). نشان داده شده است که MT-1/2 خارج سلولی رشد عصبی و ترمیم آکسونی را در حالت کشت سلولی (۱۶، ۳۰، ۳۱) و در حالت *in vivo* به دنبال آسیب به مغز (۳۰) یا آسیب به عصب محیطی (سیاتیک) (۱۵) تسریع می‌بخشد.

بر اساس نتایج Hashimoto و همکاران و نتایج Chung و همکاران و نتایج Yasutake و همکاران (۱۸، ۳۲، ۴۰) و در نهایت نتایج تحقیق حاضر می توان نتیجه گرفت ظاهراً بیان MT-1/2 در CNS و PNS متعاقب آسیب یکسان است و این دو مولکول در مراحل ابتدایی دژنراسیون والریان یعنی در فاصله روزهای اول تا چهارم پس از آسیب، زمانی که استرس اکسیداتیو ایجاد شده بیشترین peak را دارد، بیان می شوند تا با این استرس مقابله کنند.

به طور کلی و با توجه به نتایج حاصل از این بررسی، افزایش بیان ژن و پروتئین متالوتیونین می تواند به دلیل ایجاد استرس اکسیداتیو ناشی از آسیب له شدگی عصب سیاتیک باشد. در نهایت نتایج تحقیق حاضر به یک یافته متدولوژیک اشاره می کند که می تواند در افزایش دانش ما از مکانیسم های مولکولی در گیر در روند آسیب و ترمیم عصب محیطی ارزشمند باشد و از جنبه کاربرد کلینیکی می تواند برای تعیین دستاوردهای درمانی جدید با هدف مولکول های آنتی اکسیدان سودمند واقع گردد.

نخاعی (SCI) در موش ها ایجاد کردند و ۱، ۳ و ۷ روز پس از آسیب طناب نخاعی خارج شد و real time PCR و میکروآرای انجام شد و MT-1 و MT-2 در هر دو این آزمایشات در روز اول افزایش بیان داشتند. البته MT-2 در روز سوم هم افزایش بیان داشت و از آنجا که بیان MT-2 در اسکار فیروبلاستی نقش حفاظتی برای آکسون های آسیب دیده بازی می کند و MT-1 نیز نقش حفاظتی علیه استرس اکسیداتیو و آپوپتوتیک ایفا می کند، در نتیجه افزایش بیان این دو ژن در نورون های طناب نخاعی این نورون ها را از آسیب اکسیداتیو حفظ می کند (۴۰).

Chung و همکاران نشان دادند که بیان MT، چهار روز پس از آسیب کورتیکال که زمان شروع جوانه زدن ترمیمی است، افزایش می یابد (۳۲). افزایش آهن (Fe) در حیوانات تحت آزمایش، استرس اکسیداتیو ایجاد می کند. Yasutake و همکاران در مطالعه ای رت های نژاد ویستار را ۲۱ روز با رژیم ۲/۵ درصد FeII و فومارات تغذیه کردند. نتایج حاکی از آن بود که سطح MT در روز ۳ در پلاسما ماکزیم مقدار را نشان داد (۱۸).

References

1. Yu WH, Lukiw LW, Bergeron C, Niznik HB, Fraser PE, Metallothionein III is reduced in Alzheimer's disease. *Brain Res* 2001; 894(1): 37-45.
2. Kirsch M, Campos Friz M, Vougioukas VI, Hofmann HD. Wallerian degeneration and axonal regeneration after sciatic nerve crush are altered in ICAM-1-deficient mice. *Cell Tissue Res* 2009; 338(1): 19-28.
3. Senoglu M, Nacitarhan V, Kurutas EB, Senoglu N, Altun I, Atli Y, Ozbag D. Intraperitoneal Alpha-Lipoic Acid to prevent neural damage after crush injury to the rat sciatic nerve. *J Brachial Plex Peripher Nerve Inj* 2009; 4: 22.
4. Bagdatoglu C, Saray A, Surucu HS, Ozturk H, Tamer L. Effect of trapidil in ischemia/reperfusion injury of peripheral nerves. *Neurosurgery* 2002; 51(1): 212-20.
5. Arslan E, Milcan A, Unal S, Demirkan F, Polat A, Bagdatoglu O, et al. The effects of carnitine on distally-burned dorsal skin flap: an experimental study in rats. *Burns* 2003. 29(3): 221-227.
6. Valko M, Leibfritz D, Moncol J, Cronin MT, Mazur M, Telser J. Free radicals and antioxidants in normal physiological functions and human disease. *Int J Biochem Cell Biol* 2007; 39(1): 44-84.
7. Halliwell B and Gutteridge JMC, Free

- Radicals in Biology and Medicine 3rd edition. Oxford: Oxford Science; 1998.
8. LÃ JM, Lin PH, Yao Q, Chen C. Chemical and molecular mechanisms of antioxidants: Experimental approaches and model systems. *J Cell Mol Med* 2010; 14(4): 840-860.
 9. Shokouhi G, Hadidchi S, Ghorbanihaghjo A, Rahbani-Noubar M, Panahi S, Forouzanfar M, et al. Neuroprotective Effect Of Ascorbic Acid In Experimental Blunt Sciatic Nerve Injury In Rats. *The Internet Journal of Nutrition and Wellness* 2005; 1(2).
 10. Zhu YJ, Zeng T, Zhu YB, Yu SF, Wang QS, Zhang LP, Guo X, Xie KQ. Effects of Acrylamide on the Nervous Tissue Antioxidant System and Sciatic Nerve Electrophysiology in the Rat. *Neurochem Res* 2008; 33(11): 2310-2317.
 11. Mate's JM, Pérez-Gómez C, Núñez de Castro I. Antioxidant enzymes and human diseases. *Clin Biochem* 1999; 32(8): 595-603.
 12. Urban T, Hurbain I, Urban M, Clément A, Housset B. Oxidants and antioxidants. Biological effects and therapeutic perspectives. *Ann Chir* 1995; 49(5): 427-434.
 13. Santos CR, Martinho A, Quintela T, Gonçalves I. Neuroprotective and Neuroregenerative Properties of Metallothioneins. *IUBMB Life* 2012; 64(2): 126-135.
 14. Hidalgo J. Metallothioneins and Brain Injury: What Transgenic Mice Tell Us. *Environ Health Prev Med* 2004; 9(3): 87-94.
 15. Chung RS, Penkowa M, Dittmann J, King CE, Bartlett C, Asmussen JW, et al. Redefining the role of metallothionein within the injured brain: extracellular metallothioneins play an important role in the astrocyte-neuron response to injury. *J Biol Chem* 2008; 283(22): 15349-1558.
 16. Fitzgerald M, Nairn P, Bartlett CA, Chung RS, West AK, Beazley LD. Metallothionein-IIA promotes neurite growth via the megalin receptor. *Exp Brain Res* 2007; 183(2): 171-180.
 17. Oki G, Wada T, Iba K, Aiki H, Sasaki K, Imai S, et al. Metallothionein deficiency in the injured peripheral nerves of complex regional pain syndrome as revealed by proteomics. *PAIN* 2012; 153(3): 532-539.
 18. Yasutake A, Hirayama K. Effects of iron overload on hepatic and renal metallothionein levels in rats. *Journal of Health Science* 2004; 50(4): 327-378.
 19. Hidalgo J, Aschner M, Zatta P, Vasák M. Roles of the metallothionein family of proteins in the central nervous system. *Brain Res Bull* 2001; 55(2): 133-1345.
 20. Ebadi M, Sharma S. Metallothioneins 1 and 2 attenuate peroxynitrite-induced oxidative stress in Parkinson disease. *Exp Biol Med* 2006; 231(9): 1576-1583.
 21. Eibl JK, Abdallah Z, Ross GM. Zinc-metallothionein: a potential mediator of antioxidant defence mechanisms in response to dopamine-induced stress. *Can J Physiol Pharmacol* 2010; 88(3): 305-312.
 22. Lucas SM, Rothwell NJ, Gibson RM. The role of inflammation in CNS injury and disease. *Br J Pharmacol* 2006; 147(sup 1): 232-240.
 23. Kumari MV, Hiramatsu M, Ebadi M. Free radical scavenging actions of metallothionein isoforms I and II. *Free Rad Res* 1998; 29(2): 93-101.
 24. Stankovic RK. Atrophy of Large Myelinated Axons in Metallothionein-I, II Knockout Mice. *Cell Mol Neurobiol* 2005; 25(5): 943-953.
 25. Ding HO, et al. Oxidative stress and metallothionein expression in the liver of rats

- with severe thermal injury. *Burns* 2002; 28(3): 215-221.
26. Haq F, Mahoney M, Koropatnic kJ. Signaling events for metallothionein induction. *Mutat Res* 2003; 533(1-2): 211-226.
 27. Ceballos D, Lago N, Verdú E, Penkowa M, Carrasco J, Navarro X, et al. Role of metallothioneins in peripheral nerve function and regeneration. *Cell Mol Life Sci* 2003; 60(6): 1209-1216.
 28. Penkowa M, Hidalgo J. Treatment with metallothionein prevents demyelination and axonal damage and increases oligodendrocyte precursors and tissue repair during experimental autoimmune encephalomyelitis. *J Neurosci Res* 2003; 72: (5): 574-586.
 29. Stankovic RK, Li Z. Decreased neurofilament density in large myelinated axons of metallothionein-I, II knockout mice. *Neurosci Lett* 2006; 402(1-2): 1-6.
 30. Chung RS, Vickers MI, JC, Chuah West AK. Metallothionein-IIA promotes initial neurite elongation and postinjury reactive neurite growth and facilitates healing after focal cortical brain injury. *J Neurosci* 2003; 23(8): 3336-3342.
 31. Kohler LB, Berezin V, Bock E, Penkowa M. The role of metallothionein II in neuronal differentiation and survival. *Brain Res* 2003; 992(1): 128-136.
 32. Chung RS, West AK. A role for extracellular metallothioneins in CNS injury and repair. *Neuroscience* 2004; 123(3): 595-599.
 33. Penkowa M, Carrasco J, Giralt M, Molinero A, Hernandez J, Campbell IL, et al. Altered central nervous system cytokine-growth factor expression profiles and angiogenesis in metallothionein-I+II deficient mice. *J Cerebr Blood F Met* 2000; 20: 1174-189.
 34. Penkowa M, Espejo C, Martínez-Cáceres EM, Montalban X, Hidalgo J. Increased demyelination and axonal damage in metallothionein I+II-deficient mice during experimental autoimmune encephalomyelitis. *Cell Mol Life Sci* 2003; 60(1): 185-197.
 35. Penkowa M, Camats J, Giralt M, Molinero A, Hernández J, Carrasco J, et al. Metallothionein-I overexpression alters brain inflammation and stimulates brain repair in transgenic mice with astrocyte-targeted interleukin-6 expression. *Glia* 2003; 42(3): 287-306.
 36. van Lookeren Campagne M, Thibodeaux H, van Bruggen N, Cairns B, Gerlai R, Palmer JT, et al. Evidence for a protective role of metallothionein-1 in focal cerebral ischemia. *Proc Natl Acad Sci USA* 1999; 96(22): 12870-12875.
 37. Chung RS, Fung SJ, Leung YK, Walker AK, McCormack GH, Chuah MI, et al. Metallothionein expression by NG2 glial cells following CNS injury. *Cell Mol Life Sci* 2007; 64(19-20): 2716-2722.
 38. Lanza C, et al. Expression of Antioxidant Molecules After Peripheral Nerve Injury and Regeneration. *J Neurosci Res* 2012; 90(4): 842-848.
 39. Stankovic RK, Lee V, Kekic M, Harper C. The expression and significance of metallothioneins in murine organs and tissues following mercury vapour exposure. *Toxicol Pathol* 2003; 31(5): 514-523.
 40. Hashimoto M, Koda M, Ino H, Yoshinaga K, Murata A, Yamazaki M, et al. Gene expression profiling of cathepsin D, metallothioneins-1 and -2, osteopontin, and tenascin-C in a mouse spinal cord injury model by cDNA microarray analysis. *Acta Neuropathol* 2005; 109: 165-180.